Journal für praktische Chemie Chemiker-Zeitung

© Johann Ambrosius Barth 1992

Photokatalytische Oxygenierung von Cycloalkenen mit Mangan(III) Tetraarylporphyrin-Komplexen

L. Weber, J. Behling, G. Haufe und H. Hennig

Leipzig, Sektion Chemie der Universität

Bei der Redaktion eingegangen am 10. Juli bzw. 13. November 1991.

Herrn Prof. Dr. Rolf Borsdorf zum 60. Geburtstag gewidmet

Photocatalytic Oxygenation of Cyclic Alkenes with Manganese(III)Tetraarylporphyrin Complexes

Abstract. The catalytic oxygenation of cyclohexene, 1-methylcyclohexene, α -pinene, 1,5-dimethylcycloocta-1,5-diene, and cis,trans-cyclodeca-1,5-diene with (tetraarylporphyrinato) manganese (III) complexes

in the presence of molecular oxygen and visible light is reported. The photocatalytic reaction results in the formation of epoxides and allylic oxygenation products due to allylic hydrogen abstraction.

Metalloporphyrine spielen eine Schlüsselrolle bei der Übertragung von molekularem Sauerstoff in biologischen Systemen. Die Aktivierung und Übertragung von Sauerstoff mit Manganporphyrinkomplexen hat in diesem Zusammenhang in den letzten Jahren zunehmendes Interesse gefunden. Bis auf wenige Ausnahmen wird in den katalytischen Systemen ein Reduktionsmittel (Borhydrid [1], Ascorbinsäure [2], NADPH-Modelle [3], Wasserstoff [4–6] oder Zink [7]) benötigt oder elektrochemisch [8, 9] reduziert. Das Reduktionsmittel erfüllt dabei zwei Aufgaben:

- a) Reduktion des Mangan(III) zu Mangan(II), welches dann in der Lage ist, molekularen Sauerstoff zu komplexieren und
- b) reduktive Spaltung der Sauerstoff-Sauerstoff-Bindung unter Ausbildung eines hochvalenten Mangan-Oxo-Komplexes und Wasser als Nebenprodukt.

Nur zwei Arbeitskreise [10, 11] beschreiben die katalytische Wirkung von Manganporphyrinen in der Oxygenierung von oxidationsempfindlichen Substraten mit molekularem Sauerstoff ohne Reduktionsmittel. Harriman und Mitarb. [12] konnten zeigen, daß Manganporphyrin-Komplexe unter Bestrahlen mit sichtbarem Licht in Gegenwart von Sauerstoff Hydrochinon zu Chinon oxidieren.

Wir berichten über die photokatalytische Oxygenierung von Cycloalkenen mit (Tetraarylporphyrinato)mangan(III) und molekularem Sauerstoff.

Ergebnisse und Diskussion

Chloro(tetraphenylporphyrinato)-Bestrahlt man mangan(III) [Mn(TPP)Cl] unter Sauerstoffausschluß in einem inerten Lösungsmittel (Benzol) mit sichtbarem Licht ($\lambda > 350$ nm), so beobachtet man keine Veränderung des UV/VIS-Spektrums mit der für Manganporphyrine typischen Soretbande bei 474 nm. In Gegenwart von α-Pinen 1, über dessen Eignung als Testsubstrat für Oxygenierungsreaktionen wir schon berichteten [13, 14], fanden wir jedoch eine klare Photoreduktion des Mangan(III)komplexes zu Mangan(II), welcher durch eine hypsochrom verschobene Soretbande bei 433 nm charakterisiert wird (s. Abb. 1). Leitet man Luft durch die Lösung, erhält man augenblicklich das ursprüngliche Mangan(III)-Spektrum zu-

Molekularer Sauerstoff wird von Mangan(II)porphyrinen komplexiert, wobei nach Smegal und Mitarb. [15] in einer thermisch verlaufenden Reaktionsfolge ein gemischt-valenter μ-Oxokomplex entsteht:

Die photolytische Spaltung des μ-Oxokomplexes liefert dann Oxo(tetraphenylporphyrinato)mangan(IV), dessen Reaktivität und Selektivität gegenüber verschiedenen Substraten untersucht wurde.

α-Pinen 1 liefert unter den Bedingungen der aeroben photokatalytischen Oxygenierung mit Mangan(III)porphyrinen in Abhängigkeit von der Substratkonzentration, der verwendeten Lichtquelle und eingesetzten Axialliganden Produkte unterschiedlicher Zusammensetzung und Ausbeute (s. Tabelle 1). Bei Verwendung einer lichtstarken 500 Watt Quecksilberlampe als Lichtquelle, trocknem Benzol (H₂O-Gehalt <0,001 %) als Lösungsmittel und getrockneter Luft beobachteten wir die ausschließliche Bildung der Allylalkohole trans-Verbenol 3 und trans-Pin-3-en-2-ol 5. Verwendet man Benzol mit einem H₂O-Gehalt größer als 0,002 %, bzw. nicht vorgetrocknete Luft, beobachtet man zusätzlich die Bildung von trans-α-Pinenoxid 2. Bei einer Erhöhung der Substratkonzentration konnte eine annähernd lineare Erhöhung des Umsatzes, hier in Turnover angegeben, festgestellt werden. Eine vollständige Zerstörung des Katalysators erfolgte nach 16h Reaktionszeit, wobei je Katalysatormolekül ca. 1 400 Moleküle Produkt gebildet wurden.

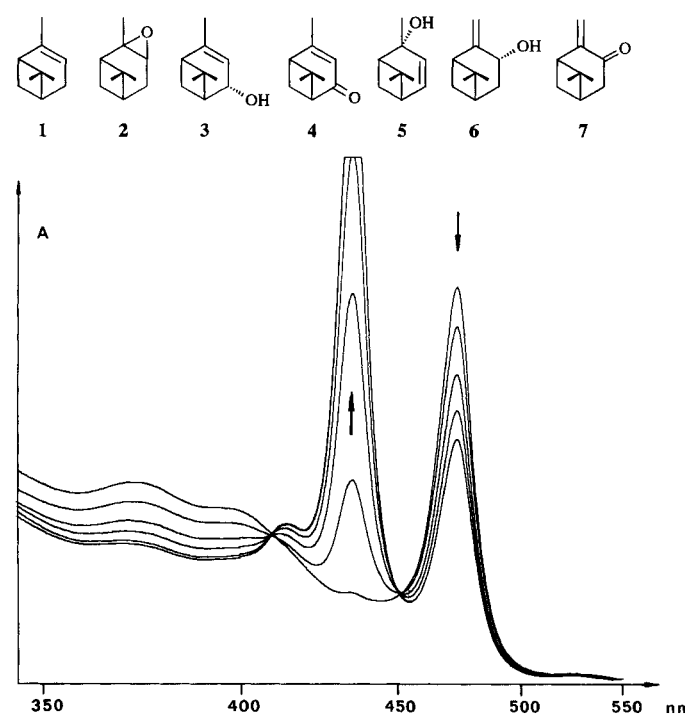


Abb. 1 Hypsochrome Verschiebung der Soretbande bei der Photoreduktion von Chloro(tetraphenylporphyrinato)-mangan(III) zu Mangan(II)

Die Zugabe von 20 Moläquivalenten Wasser je Katalysatormolekül bewirkt, wahrscheinlich über Koordination mit dem Manganzentrum [12], bzw. über die Bildung von Hydroxylradikalen, eine erhöhte Produktausbeute, allerdings auch eine geringere Selektivität. Bei Zugabe von 1-Methylimidazol beobachteten wir eine Zunahme des Umsatzes. Die Verbesserung der sauerstoffübertragenden Eigenschaften von Manganporphyrinen in thermischen Reaktionen bei Zusatz von 1-Methylimidazol ist bereits bekannt [3] und wird auf die Koordination als sechster Ligand des Mangans unter gleichzeitiger Erhöhung der Elektronendichte am Metallzentrum zurückgeführt. Bei einem großen Überschuß an 1-Methylimidazol sinkt der Umsatz jedoch wieder, da ähnlich der Reaktion von Eisenporphyrinen [13] durch Bildung von [(TPP)Mn^{II}] (1-MeIm)₂ der Katalysator dem Reaktionscyclus entzogen wird.

Der nur als Aquokomplex isolierbare μ -Oxo-bis [(tetra-phenylporphyrinato)mangan(III)] Komplex ([MnTPP)₂O] \times 2H₂O) liefert ein ähnliches Produktspektrum wie der Chlorokomplex, die sterisch anspruchsvolleren Tetramesityl- und Tetra(2,6-dichlorophenyl)porphyrinatokomplexe [Mn(TMP)Cl und Mn(TDCPP)Cl] neben Pinenoxid 2 auch die durch Abstraktion eines Wasserstoffatomes an der Methylgruppe des Pinens ableitbaren Produkte trans-Pinocarveol 6 und Pinocarvon 7.

Die Oxygenierung von Cyclohexen mit dem System MnTPPCl/O₂/hv lieferte im Vergleich zur Autoxidation [17] eine um das 40-fache erhöhte Produktausbeute (Umsatz 22 %, 2200 Turnover) von 20 % Cyclohexenoxid, 22 % Cyclohex-2-en-1-ol und 58 % Cyclohex-2-en-1-on. Die photokatalytische Oxygenierung des oxidationsempfindlichen 1-Methyl-cyclohexens 8 ergab ein der Autoxidation analoges Produktspektrum [17] mit einer 4-fachen Erhöhung des Umsatzes (Umsatz 14 %, 1380 Turnover): 5 % 1-Methylcyclohexenoxid 9, 19 % 3-Methyl-cyclohex-2-en-1-ol 10, 34 % 3-Methyl-cyclohex-2-en-1-on 11, 10 % 1-Methyl-cyclohex-2-en-1-ol 12, 8 % 2-Methyl-cyclohex-2en-1-ol 13, sowie 24 % 2-Methyl-cyclohex-2-en-1-on 14. Im Gegensatz zu den Ergebnissen der Photooxygenierung von Cyclohexen und 1-Methyl-cyclohexen erhielten wir bei der photokatalytischen Oxygenierung von 1,5-Dimethyl-cycloocta-1,5-dien nicht das breite Produktspektrum der Autoxidation, welches aus 11 % Epoxid und 12 verschiedenen Allyloxidationsprodukten besteht [17], sondern ausschließlich das entsprechende Monoepoxid 15 (112 Turnover).

Tabelle 1	Photokatalytische	Oxygenierung	von α-Pinen

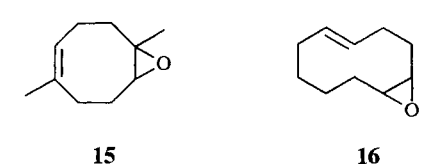
Komplex	Axial		$S/K^{a)}$ $TO^{b)}$			Produktverteilung (mol %)				
	ligand				2	3	4	5	6	7
MnTPPCl ^{c)}			10000	250		14		86		
MnTPPCl			1000	16	27	26	47			
MnTPPCl			2000	94	25	29	46			
MnTPPCl			4000	130	25	29	46			
MnTPPCl			8000	346	28	32	40			
MnTPPCl			16000	758	28	34	37			
MnTPPCld)			10000	1400	18	26	41	15		
MnTPPCl	H_2O	20e)	10000	1330	32	17		28	10	
MnTPPCl	MeIm ^{f)}	1	5000	176	27	31	42			
MnTPPCl	Melm	2	5000	306	30	29	41			
MnTPPCl	MeIm	5	5000	386	31	29	40			
MnTPPCl	MeIm	10	5000	406	30	30	40			
MnTPPCl	MeIm	20	5000	400	32	27	41			
MnTPPCl	MeIm	200	5000	276	33	22	46			
$[(MnTPP)_2O] \times 2$	2H ₂ O		2000	10	37	40	23			
$[(MnTPP)_2O] \times 2$			10000	222	18	11	13	48	10	
MnTMPĆl	-		5000	83	17				50	33
MnTDCPP			5000	82	27	26	23		10	14

a) Verhältnis Substrat (α-Pinen) zu Katalysator, bei einer Katalysatorkonzentration von 0,5 × 10-6 Mol/l

In gleicher Weise entsteht aus cis, trans-Cyclodeca-1,5dien das cis-konfigurierte Monoepoxid 16 (28 Turnover), welches auch in der thermischen Oxygenierung mit Fe(TPP)Cl und Iodosobenzol als Sauerstoffquelle erhalten wird.

Die erhaltenen Resultate sprechen, ebenso wie Ergebnisse der photokatalytischen Oxygenierung von Kohlenwasserstoffen mit Eisenporphyrinen [14] und Molybdän-, bzw. Niobporphyrinen [13], für das Auftreten verschiedener Oxygenierungsmechanismen:

- a) Direkte Sauerstoffübertragung auf die Doppelbindung des Olefins über einen Oxo-Transfermechanismus (bei 1,5-Dimethyl-cycloocta-1,5-dien und cis, trans-Cyclodeca-1,5-dien).
- b) Abstraktion von Wasserstoff in Allylstellung unter Ausbildung eines Radikalkomplexes mit dem Hydroxomanganporphyrin [R'+HO-Mn(TPP)] und anschließender Rekombination der Hydroxylgruppe mit dem Allylradikal ("oxygen-rebound-mechanism" [18], Bildung von 3 und 5).
- c) Diffusion der Allylradikale aus dem Radikalkäfig und Peroxylradikalbildung mit Sauerstoff unter Aus-



bildung eines dem der Autoxidation ähnlichen Produktspektrums oder eine durch Hydroxylradikale initierte Autoxidation über Radikalketten (Cyclohexen und 1-Methyl-cyclohexen).

Während bei den sterisch gespannten Cycloalkenen 1,5-Dimethyl-cycloocta-1,5-dien und cis,trans-Cyclodeca-1,5-dien nur eine Epoxidierung über a) beobachtet wurde, scheinen bei Cyclohexen und 1-Methyl-cyclohexen die Radikalkettenoxidation c) und bei α -Pinen in Abhängigkeit von den Reaktionsbedingungen alle drei Mechanismen eine Rolle zu spielen.

Beschreibung der Versuche

Die ¹³C-NMR-Spektren wurden an einem Gerät Bruker MSL-300 in Deuterochloroform als Lösungsmittel und Tetramethylsilan als internem Standard unter Zusatz eines Relaxationsreagenzes, Tris(acetylacetonato)chromium(III), mit einer Breitband-Protonenentkopplung während der Aquisitionszeit angefertigt. Die Kapillargaschromatogramme mit n-Decan als internem Standard wurden auf einem Gerät HP 5890 II der Firma Hewlett-Packard aufgenommen.

Für die photokatalytischen Oxygenierungen wurde, wenn nicht anders vermerkt, ein thermostatierter (40 °C) 50 ml Photoreaktor, der mit einer 55 Watt Halogenimmersionslampe (380 $< \lambda <$ 750 nm) ausgerüstet war, verwendet. Wäh-

b) Turnover: gebildetes Produkt in Mol je Mol Katalysator

c) Unter Verwendung einer 500 Watt Niederdruckquecksilberlampe, getrocknetem Benzol und getrockneter Luft

d) Die Reaktionszeit betrug 16 h.

e) Moläquivalent Axialligand je Mol Katalysator

^{f)} MeIm: 1-Methylimidazol

rend der Reaktionszeit (8h) wurde ein Luftstrom (21/h) durch die Reaktionslösung geleitet. Die photokatalytische Oxygenierung von Cyclohexen, 1-Methyl-cyclohexen, 1,5-Dimethyl-cycloocta-1,5-dien und cis,trans-Cyclodeca-1,5-dien wurde in 50 ml Benzol mit 0,1 mol des entsprechenden Olefins und 1 * 10-5 mol Mn(TPP)Cl als Katalysator durchgeführt. Die Produktausbeute und Produktzusammensetzung wurden direkt aus der Reaktionslösung mit quantitativer und qualitativer ¹³C-NMR und Datenbankanalyse bestimmt [19], die erhaltenen Ergebnisse wurden mit Kapillargaschromatographie (Säule OV I, 25 m, 0,25 mm I.D., 70 °C bzw. 120 °C isotherm, Trägergas H₂) unter Zusatz eines internen Standards (n-Decan) anhand authentischer Vergleichssubstanzen überprüft.

Literatur

- [1] S. Fukuzumi, S. Mochizuki, T. Tanaka: Isr. J. Chem. 28 (1988) 29
- [2] J.T. Groves, R. Neumann: J. Org. Chem. 53 (1988) 3891
- [3] I. Tabushi: Coord. Chem. Rev. 86 (1988) 1
- [4] J. van Esch, M.F.M. Roks, R.J.M. Nolte: J. Am. Chem. Soc. 108 (1986) 6093
- [5] F. Montanari, S. Quici: Chim. Ind. (Milano) **68** (1986) 72
- [6] K.S. Suslick, B.R. Cook: Incl. Phenomena Mol. Recogn. 1990, 209

- [7] P. Battioni, J.F. Bartoli, P. Leduc, M. Fontecave, D. Mansuy: J. Chem. Soc., Chem. Commun. 1987, 791
- [8] P. Leduc, P. Battioni, J.F. Bartoli, D. Mansuy: Tetrahedron Lett. 29 (1988) 205
- [9] L.O. Spreer, A. Leone, A.C. Maliyackel, J.W. Otvos, M. Calvin: Inorg. Chem. 27 (1988) 2401
- [10] K. Ohkubo, T. Sagawa, M. Kuwata, T. Hata, H. Ishida: J. Chem. Soc., Chem. Commun. 1989, 352
- [11] P. E. Ellis, J.E. Lyons: J. Chem. Soc., Chem. Commun. 1990, 1315
- [12] A. Harriman, G. Porter: J. Chem. Soc., Trans. Faraday II 76 (1980) 1429
- [13] L. Weber, G. Haufe, D. Rehorek, H. Hennig: J. Mol. Catal. **60** (1989) 267
- [14] H. Hennig, D. Rehorek, R. Stich, L. Weber: Pure Appl. Chem. 62 (1990) 1498
- [15] G. C. Dismukes, J.E. Sheats, J.A. Smegal: J. Am. Chem. Soc. 109 (1987) 7202
- [16] M.W. Peterson, D.S. Rivers, R.M. Richman: J. Am. Chem. Soc. 107 (1985) 2907
- [17] L. Weber, G. Haufe, D. Rehorek, H. Hennig: J. Chem. Soc., Chem. Commun. 1991, 502
- [18] J.T. Groves, W.J. Kruper, R.C. Haushalter: J. Am. Chem. Soc. 102 (1980) 6375
- [19] L. Weber, G. Haufe: J. Prakt. Chem. 330 (1988) 319

Korrespondenzanschrift:

Dr. L. Weber Roche AG, CH-4002 Basel, Schweiz